

Interaction Between Anionic Vesicles and a Cationic Terpolymer in a Concentrated Solution Regime: Changes in Morphology and Vesicular Particle Size

Farzad Lahootifard¹, Mohammad Imani^{1*}, and Ali Akbar Yousefi²

¹ Department of Druggery, School of Pharmacy, Iran Polymer and Petrochemical Institute, P.O. Box: 14975-112, Tehran, Iran

Received 5 April 2015 Accepted 10 December 2015

ABSTRACT

In this study, interactions between poly(acrylic acid) (PAA) and POSS DCA particles were investigated. POSS DCA particles were prepared by the same method. POSS DCA and PAA particles were stirred at a ratio of 3:1 (w/w) in the terpolymer (i.e., poly(methyl acrylate-methacrylate-co-methacrylate-*co*-butyl methacrylate)) solution. The morphology of the POSS DCA particles was observed by AFM. The interaction between the terpolymer and POSS DCA particles was investigated by rheological measurements. The interaction between the terpolymer and POSS DCA particles was confirmed by AFM. The interaction between the terpolymer and POSS DCA particles was confirmed by AFM. The interaction between the terpolymer and POSS DCA particles was confirmed by AFM. The interaction between the terpolymer and POSS DCA particles was confirmed by AFM.

Keywords:

acrylic terpolymer,
vesicle,
concentrated solution,
morphology,
rheology

(*)To whom correspondence should be addressed.
E-mail: m.imani@ippi.ac.ir

اثر برهمکنش ترپلیمر کاتیونی در الگوی محلول غلیظ با آب‌دانه‌های آنیونی: تغییرات شکل‌شناسی و اندازه ذرات آب‌دانه‌ای

فرزاد لاهوتی فرد^۱، محمد ایمانی^{۱*}، علی اکبر یوسفی^۲

تهران، پژوهشگاه پلیمر و پتروشیمی ایران، صندوق پستی ۱۴۹۷۵-۱۱۲؛
۱-پژوهشکده علوم، گروه سامانه‌های نوین دارورسانی، ۲-پژوهشکده فرایند، گروه پلاستیک

دريافت: ۱۳۹۳/۹/۱۲، پذيرش: ۱۳۹۴/۶/۲۹

مجله علوم و تكنولوجی پلیمر،
سال بیست و نهم، شماره ۱،
صفحه ۱۴-۳، ۱۳۹۵
ISSN: ۰ ۹
Online ISSN: ۰ ۰

چکیده

برهمکنش میان پلیکتروولیت‌ها و ذرات آب‌دانه‌ای دارای بار مخالف اثراها و کاربردهای مهمی در دارورسانی یا ژن‌درمانی دارد. تشکیل ساختارهای آب‌دانه‌ای به وسیله ۲-(پروپیل کربامویل) ترقتالیک اسید هپتاایزو بوتیل POSS DCA (در سامانه حلال استون، اتانول و ۱-پروپانول قبلاً اثبات شده است. پلی(دی‌متیل آمینواتیل متاکریلات-بوتیل متاکریلات-متیل متاکریلات) ترپلیمر کاتیونی اتفاقی با قابلیت خودگردانی در سامانه حلال یاد شده است. در این پژوهش، محلول‌های غلیظ (۵۶٪ وزنی) از ترپلیمر در سامانه حلال حاوی غلظت‌های ۲۳ و ۳۴ mM از POSS DCA در دو حالت فراصوتدهی شده و نشده ساخته شدند. مطالعه تغییر اندازه ذره و شکل‌شناسی ذرات آب‌دانه‌ای POSS DCA در اثر برهمکنش با ترپلیمر با آزمون میکروسکوپی نیروی اتمی (AFM) انجام شد. تماس ترپلیمر با ذرات آب‌دانه‌ای فراصوتدهی نشده با قطر متوسط حدود $4/5 \mu\text{m}$ در محلول POSS DCA ۲۳ mM باعث از بین رفتن ذرات شد. این یافته به وسیله آزمون رئولوژی تأیید شد. برهمکنش ترپلیمر با ذرات آب‌دانه‌ای مشابه در محلول M ۲۴ به تغییر شکل ذرات از کروی به بیضوی و کاهش قطر متوسط آنها (از حدود $4/5 \mu\text{m}$ به کمتر از 700 m) منجر شد. برهمکنش ترپلیمر با ساختارهای لایه‌ای نامنظم و تجمع یافته در ریزنگاشت مربوط به محلول پلیمری تهیه شده در مجاورت ذرات آب‌دانه‌ای فراصوتدهی شده (در غلظت ۳۴ mM مشاهده شدند. نتایج حاصل براساس خودگردانی زنجیرهای ترپلیمر و سازوکارهای پوسته‌برداری از ذرات آب‌دانه‌ای به وسیله زنجیرهای پلیکتروولیت و نیز نفوذ پلیکتروولیت در دیواره آب‌دانه‌ها توجیه شدند.

واژه‌های کلیدی

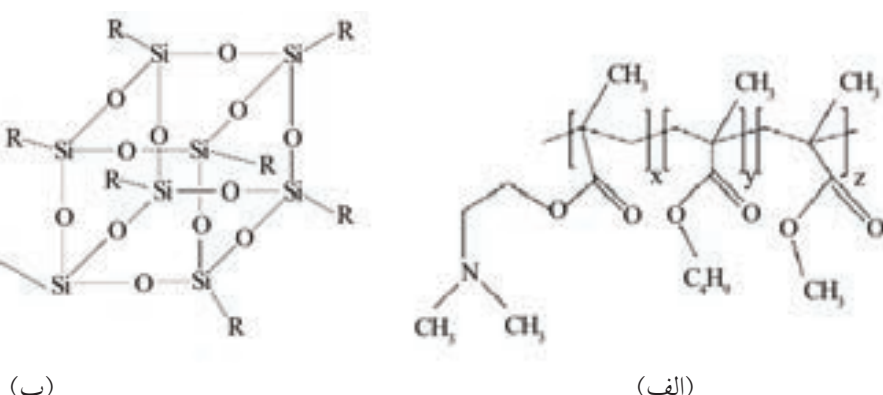
ترپلیمر آکریلی،
آب‌دانه،
محلول غلیظ،
شکل‌شناسی،
رئولوژی

مقدمه

تدریجی آنها به یکدیگر و رانده‌شدن آب موجود میان دولایه‌ها به سمت سایر بخش‌های آب‌دانه می‌شود. در نهایت، بخش‌های بزرگی از آب‌دانه از ساختارهای دولایه خود رها می‌شوند و بخش‌هایی با ساختار لایه‌ای مشکل از دولایه‌های آب‌دانه‌ای و زنجیرهای پلیمر با چینش متناوب و شکل‌های نامنظم وارد فاز محلول می‌شوند [۹]. این ساختارهای لایه‌ای شبیه به ساختارهای حاصل از برهم‌کنش DNA با لیپوزوم‌ها هستند. پلی(دی‌متیل‌آمینواتیل‌متاکریلات-بوتیل‌متاکریلات-متیل‌متاکریلات) ترپلیمر کاتیونی اتفاقی (شکل ۱-الف) با نسبت مونومر ۲:۱ است که می‌تواند برای فرمول‌بندی چسب‌های تماسی با کاربرد در دارورسانی تراپوستی استفاده شود [۱۳، ۱۴]. مخلوط حللاً‌ها شامل استون، اتانول و ۱-پروپانول (با مقادیر حجمی به ترتیب $\frac{3}{4}$ ، ۶۰ و ۶٪) برای این ترپلیمر پیشنهاد شده است [۱۵]. پیش از این، تشکیل ساختارهای خودگردان‌آمده در محلول‌های رقیق این ترپلیمر (در مخلوط حللاً و هر یک از حللاً‌ها به‌تهیایی) نشان داده شد. [۱۶]. همچنان، وجود ساختارهای خودگردان‌آمده در محلول غلیظ نیز به روش اعمال برش نوسانی در دامنه‌های بزرگی از کرنش ثابت شده و با نتایج AFM تأیید شده است [۱۷].

۲-(پروپیل کربامویل) ترفتالیک اسید هپتاایزو بوتیل POSS (DCA) ترکیب جدید (شکل ۱-ب) و تجاری نشده از خانواده ترکیبات سیلیسیکوئی اکسان و اولیگومری چندوجهی (POSS) است. این ترکیبات با فرمول تجربی $\text{RSiO}_{1.5}$ شامل یک قفس درونی معدنی برپایه سیلیسیکوئی اکسان در مقیاس نانو هستند که با استخلاف‌های آلی بیرونی پوشش یافته‌اند [۱۸]. آنیون‌های کربوکسیلات POSS DCA می‌توانند با گروه‌های آمین چهارتایی حاصل از یونش مونومر دی‌متیل آمینواتیل‌متاکریلات موجود در ساختار ترپلیمر برهم‌کنش‌های الکتروستاتیک برقرار کنند. تشکیل ساختارهای آب‌دانه‌ای در محلول‌های

آب‌دانه‌ها حاصل تجمع و خودگردانی مولکول‌های فعال سطحی به شکل ساختارهای دولایه بسته هستند [۱]. آب‌دانه‌ها ساختاری دولایه شبیه به غشاها زیستی دارند و به عنوان الگوی پوست [۲] یا غشای سلول [۳] در نظر گرفته می‌شوند. این ساختارها با قابلیت بارگذاری هر دو نوع ترکیبات آبدوست و آبگریز می‌توانند کاربردهای زیادی در سامانه‌های کنترل رهایش ترکیبات زیست‌فعال داشته باشند [۴]. اصلاح سیتیک رهایش دارو و پایدارسازی ذرات آب‌دانه‌ای در جریان خون با اصلاح سطح این ذرات به‌وسیله پلیمرهای آبدوست و بدون بار امکان‌پذیر است [۵]. کمپلکس‌های پلی‌الکترولیت-آب‌دانه می‌توانند برای دارورسانی هدفمند-حساس به pH استفاده شوند [۶]. برهم‌کنش‌های میان پلی‌الکترولیت-آب‌دانه ممکن است، باعث بروز پدیده‌هایی مانند هم‌جوشی [۷] یا شکست آب‌دانه‌ها [۸] شوند که در دارورسانی یا زدن درمانی حائز اهمیت هستند. چنین برهم‌کنش‌هایی می‌توانند شبیه برهم‌کنش DNA (به عنوان پلی‌الکترولیت دوگانه‌دوست) با غشاها سلولی باشند [۹]. پژوهش‌های مختلف نشان داده است، در پی برهم‌کنش آب‌دانه‌های لپیاری (لیپوزوم‌ها) کاتیونی و DNA در میان دولایه‌های چربی لیپوزوم قرار می‌گیرند و ساختارهای چندلایه تشکیل می‌دهند، هرچند سازوکار تشکیل این ساختارها در این پژوهش‌ها بررسی نشده است [۱۰-۱۲]. لوان و راموس [۹] سازوکار برهم‌کنش محلول رقیق (كمتر از ۲٪ وزنی / وزنی) پلی‌الکترولیت دوگانه‌دوست آبیونی را با آب‌دانه‌های کاتیونی بررسی کردند. آنها نشان دادند، تماس این دو سامانه همراه با جداشتن (پوسته‌برداری) دولایه‌های آب‌دانه‌ای، کوچک‌ترشدن تدریجی اندازه آب‌دانه‌ها و تشکیل کمپلکس آب‌دانه-پلیمر در مجاورت آب‌دانه است [۹]. اما، در غلاظت‌های بیشتر از پلی‌الکترولیت (بیش از ۱۰٪ وزنی/وزنی)، نفوذ زنجیرهای پلیمری در فضای میان دولایه‌های آب‌دانه باعث پیوند خوردن



شکل ۱- (الف) ساختار شیمیایی گستردۀ پلی(دی‌متیل‌آمینواتیل‌متاکریلات-بوتیل‌متاکریلات-متیل‌متاکریلات) و (ب) ساختار شیمیایی مولکول

POSS DCA [= ایزو بوتیل].

حد اشباع ($75/2 \text{ mM}$) ساخته شد. این محلول به نسبت‌های مختلف رقیق شد تا محلول‌هایی با غلظت‌های 23 و 34 mM تهیه شوند (جدول 1 ، نمونه‌های PO3 و PO4). بخشی از هر محلول در حمام فراصوت با توان $W = 250$ و بسامد $\text{Hz} = 38$ فراصوت دهی شد. این کار در سه دوره زمانی 10 min با زمان وقفه 5 min بین هر دوره انجام شد (جدول 1 ، نمونه‌های PO3 و PO4). مقدار ثابتی از POSS DCA به محلول‌های Eudragit E100 ایجت داده و فراصوت دهی شده و فراصوت دهی نشده اضافه شد تا مخلوط‌هایی با غلظت 56% وزنی POSS DCA و غلظت‌های $0/42$ ، $0/63$ و $0/84\%$ وزنی از POSS DCA به دست آید. مخلوط‌ها به مدت حدود 8 h به وسیله همزن رفت و برگشتی با سرعت 80 rpm تا 100 rpm و سپس حدود 14 h با مخلوط‌کن دورانی همزدۀ شدن (جدول 1 ، نمونه‌های TP23، TP34 و TP34s) و (TP23s). همین روش برای ساخت محلول پلیمری خالص (نمونه TP0) استفاده شد، به جز اینکه به جای محلول POSS DCA از مخلوط حلال به تنها یابی استفاده شد.

برای نمونه‌سازی آزمون AFM، محلول‌های غلیظ (56% وزنی) پلیمر (به تنها یابی یا همراه با POSS DCA) با فیلم‌کش بر سطح شیشه کشیده و با دمیدن گاز نیتروژن خشک شدند. ضخامت لایه پلیمری خشک شده حداقل حدود $11 \mu\text{m}$ بود. آزمون AFM در شرایط محیطی و به روش غیرتماسی انجام شد. امکان روپوش سطح با حداقل مساحت $50 \times 50 \mu\text{m}^2$ با دقت کمتر از 1 nm به وسیله کاونده AC با نوک مخروطی سیلیکونی وجود داشت.

گرانروی پویای محلول با دستگاه رئومتر، مجهر به محفظه‌ای با شکل مخروط و صفحه، در حالت روپوش کرنش در دمای 10°C معین شد. زاویه مخروط، قطر صفحه و فاصله مخروط تا صفحه به ترتیب 2° ، 50° و $0/05 \text{ mm}$ بودند. بسامد زاویه‌ای برابر با 1 Hz بود و آزمون پس از یک زمان وقفه 5 min تکرار شد. برای جلوگیری از تبخیر حلال، اطراف شکاف بین مخروط و صفحه به وسیله روغن سیلیکون درزگیری شد.

نتایج و بحث

در شکل 2 ذره‌های آب‌دانه‌ای مربوط تشکیل شده از POSS DCA در مخلوط حلال در غلظت‌های مختلف (نمونه‌های PO3 ، PO4 و PO3) در دو حالت فراصوت دهی شده و نشده دیده می‌شوند. بخش عمده ذرات قابل مشاهده در نمونه‌های PO3 و PO4 دارای اندازه ذره تقریباً برابر و حدود $4/5 \mu\text{m}$

رقیق POSS DCA در مخلوط حلالی پیش‌گفته برای ترپلیمر کاتیونی به اثبات رسیده است [۱۹].

در این مطالعه، برای اولین بار اثر برهم‌کنش‌های موجود میان ترپلیمر کاتیونی Eudragit و ذرات آب‌دانه‌ای POSS DCA حین فرایند ساخت محلول پلیمری غلیظ بر اندازه ذره‌ای و شکل‌شناسی آب‌دانه‌ها بررسی شده است. انحلال ترپلیمر در مخلوط حلال حاوی ذرات آب‌دانه‌ای انجام شد تا ذرات آب‌دانه‌ای، با توجه به انحلال تدریجی پلیمر، در تماس با غلظت‌های زیادی از ترپلیمر قرار گیرند.

تجربی

مواد

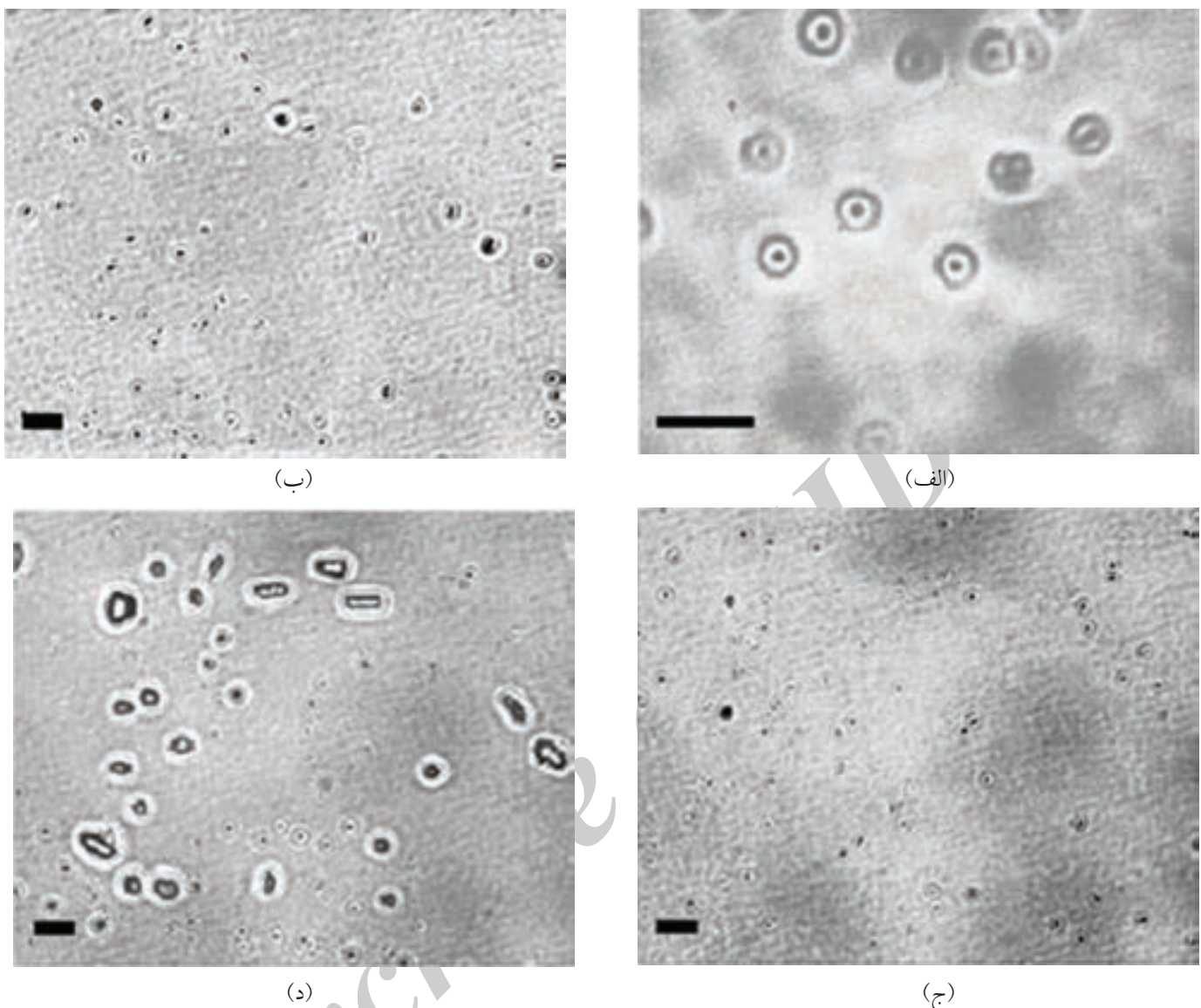
2 -پروپیل کربامویل) ترفتالیک اسید هپتاایزو بوتیل Hybrid POSS DCA (POSS DCA) با وزن مولکولی 1065 g/mol از شرکت Plastics Amerika خریداری و بدون هیچ خالص‌سازی استفاده شد. حلال‌ها شامل استون بسیار خالص از آزمایشگاه شیمیایی دکتر مجللی (ایران)، ۱-پروپانول بسیار خالص از شرکت Merck آلمان و اتانول 96% حجمی-حجمی از شرکت بیدستان ایران تهیه شدند. پلی(دی‌متیل آمینو)تیل متاکریلات-متیل متاکریلات-بوتیل متاکریلات) با نام تجاری Eudragit E100، وزن مولکولی 47000 g/mol و دمای انتقال شیشه‌ای $45 \pm 5^\circ\text{C}$ از شرکت Degussa آلمان تهیه شد.

روش‌ها

محلول مادر از POSS DCA در مخلوط حلال در غلظتی کمتر از

جدول 1 -مشخصات نمونه‌های بررسی شده.

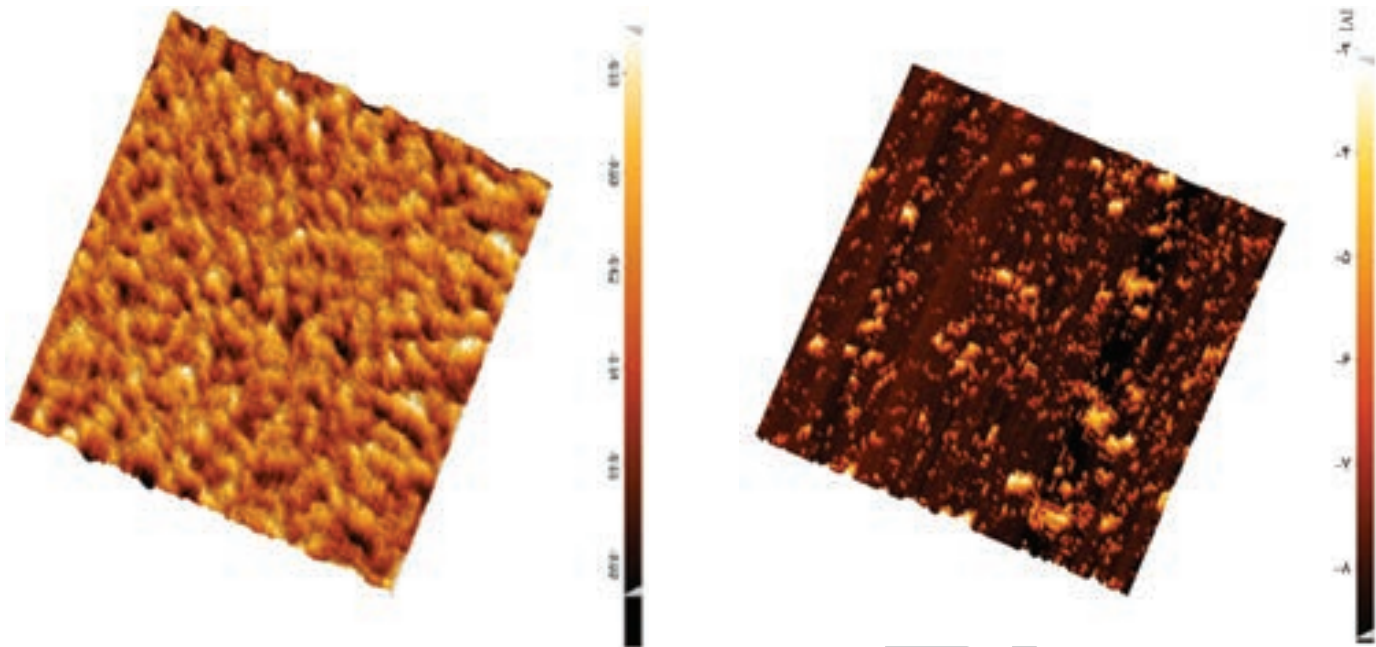
غلظت ترپلیمر (%w/w)	غلظت POSS (mM)	فراصوت دهی	نمونه
.	23	-	PO3
.	34	-	PO4
.	23	×	PO3
.	34	×	PO4
56	0	-	TP0
56	23	-	TP23
56	34	-	TP34
56	23	-	TP23s
56	34	-	TP34s



شکل ۲- تصویرهای میکروسکوپی نوری محلول‌های POSS DCA در حالت‌های: فراصوت‌دهی نشده شامل نمونه‌های (الف) PO₃ و (ب) PO₃₄ و فراصوت‌دهی شده شامل نمونه‌های (ج) PO₃ و (د) PO₃₄. خط مقیاس در نمونه‌های (ج) ۱۰ μm است.

بروز این پدیده در نمونه PO₃₄ می‌تواند به غلاظت زیاد (۳۴ mM) و در نمونه PO_{34s} به اثر مضاعف غلاظت زیاد و افزایش انرژی سطحی کل ذرات شکسته شده (در اثر امواج فراصوت) با اندازه کوچک‌تر نسبت داده شود. طبیعی است، با هدف کاهش سطح انرژی سامانه تمایل ذاتی ترمودینامیکی به هم‌جوشی این ذرات کوچک‌تر وجود دارد. در ریزنگاشت AFM مربوط به نمونه TP0 (شکل ۴) ساختارهای لایه‌ای نانومتری در میان نواحی لایه‌ای پهن‌تر دیده می‌شوند. این ساختارها حاصل خودگردانی زنجیرهای ترپلیمر و شبیه به ساختارهای خودگردان آمده مشاهده شده در محلول‌های رقیق ترپلیمر در حال‌های مختلف (هریک به تنها یا مخلوط آنها)

هستند. البته در نمونه PO₃₄ ذرات درشت‌تر و بیضی‌شکلی نیز دیده می‌شوند. در ضمن در ریزنگاشت AFM از نمونه PO₃ ذره‌ایی با طول تقریبی بین ۹۰ m تا ۱۰ μm نیز دیده شدند (شکل ۳). این ذرات باید حاصل شکست آب‌دانه‌های درشت‌تر در اثر پرتودهی امواج فراصوت باشند. مشاهده‌نشدن چنین ذراتی در نمونه PO₃₄ می‌تواند در اثر غلاظت زیادتر POSS DCA و تجمع مجدد آنها پس از قطع تابش امواج فراصوت باشد. آب‌دانه‌ها به شکل ذرات کروی درشت‌تر یا ذرات بیضی‌شکلی (با طول متوسط تقریبی ۸ μm) در این نمونه ظاهر شدند. تشکیل ساختارهای آب‌دانه‌ای بیضی‌شکل در نمونه‌های مختلف می‌تواند به هم‌جوشی آب‌دانه‌ها نسبت داده شود [۲۰].



شکل ۴- ریزنگاشت‌های AFM مربوط به محلول‌های غلیظ (۵۶٪ وزنی) ترپلیمر در: (الف) مخلوط حلال و (ب) استون. ابعاد ریزنگاشت‌ها $2 \times 2 \mu\text{m}$ است.

محلول‌ها (بنده‌های ۳، ۴ و ۵) نشان می‌دهد، سازوکار ارائه شده برای برهم‌کنش پلیمر آبیونی با آب‌دانه‌های کاتیونی [۹] برای این سامانه نیز صادق است.

در تحلیل تغییرات مشاهده شده در اندازه ذره و شکل‌شناسی ذرات آب‌دانه‌ای باید به پدیده خودگردhamایی زنجیرهای ترپلیمر [۱۶، ۱۷] نیز توجه شود. با شروع انحلال ترپلیمر در مخلوط حلال (فاقد ذرات آب‌دانه‌ای) امکان خودگردhamایی زنجیرهای هم در محلول‌های رقیق [۱۶] و هم در محلول‌های غلیظ [۱۷] وجود دارد. اما، در زمان وجود ذرات آب‌دانه‌ای در محیط مخلوط حلال باید نقش پیوندهای الکتروستاتیک جذبی و نیز پیوندهای هیدروژنی میان زنجیرهای ترپلیمر و سطح آب‌دانه‌ها هم درنظر گرفته شود. با توجه به قوی تربودن این پیوندها نسبت به پیوندهای هیدروژنی بین زنجیری به‌نظر می‌رسد تا زمانی که ذره‌های آب‌دانه‌ای در محلول وجود داشته باشند، امکان خودگردhamایی زنجیرهای وجود نداشته باشد (شکل ۷). طبق سازوکار پوسته‌برداری پیشنهاد شده توسط لوان و راموس [۹] برهم‌کنش ذرات آب‌دانه‌ای باردار با پلی‌الکتروولیت حاوی بار مخالف باعث جداسدن تدریجی دولایه‌های آب‌دانه از آن می‌شود. این دولایه‌ها می‌توانند از راه برهم‌کش‌های الکتروستاتیک و هیدروژنی با زنجیرهای ترپلیمر تشکیل کمپکس دهند. پایدارترین ساختار محتمل برای این کمپلکس‌ها می‌تواند ساختاری لایه‌ای و

شکل ۳- ریزنگاشت AFM مربوط به نمونه PO23s با ابعاد $2 \times 2 \mu\text{m}$

هستند [۱۶]. در مطالعات پیشین، وجود چنین ساختارهایی در محلول غلیظ ترپلیمر خالص (نمونه TP0) براساس نتایج رئولوژی و AFM ثابت شده است [۱۷]. با توجه به غلظت زیاد محلول، نواحی لایه‌ای پهن در ریزنگاشت شکل ۴ باید در اثر تجمع ساختارهای لایه‌ای نازک ایجاد شده باشند. در ریزنگاشت‌های AFM مربوط به محلول‌های غلیظ حاوی POSS DCA (شکل‌های ۵ و ۶) نکات زیر شایان توجه هستند:

۱- ساختارهای لایه‌ای، کم و بیش در همه ریزنگاشت‌ها قابل مشاهده هستند. باید توجه کرد، اختلاف زیری سطح میان نواحی حاوی ذرات آب‌دانه‌ای و سایر نواحی می‌تواند از دیده شدن این ساختارهای لایه‌ای در بسیاری از نواحی نمونه جلوگیری کند.

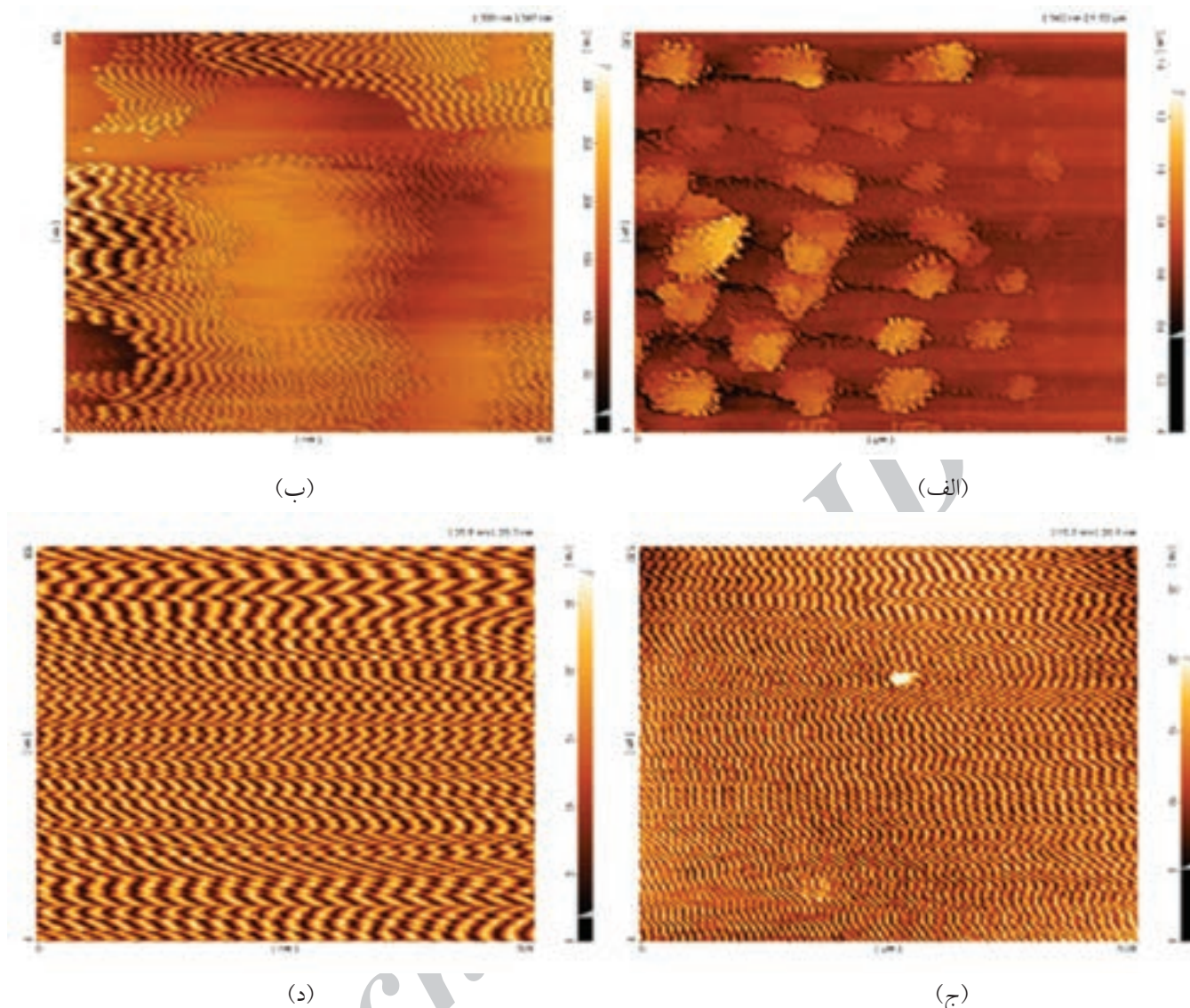
۲- در این نمونه‌ها برخلاف نمونه TP0 (شکل ۴)، نواحی پهن (حاصل از بهم پیوستن ساختارهای لایه‌ای) دیده نمی‌شوند.

۳- ذرات کروی شکل قابل مشاهده در ریزنگاشت نمونه TP23 (شکل ۵) به ساختارهای آب‌دانه‌ای مربوط هستند که از این پس به عنوان آب‌دانه‌ها یا ذرات آب‌دانه‌ای نام برده می‌شوند. این ذرات نسبت به ذرات موجود در محلول اولیه (نمونه PO3، شکل ۲) بسیار کوچکتر هستند.

۴- در نمونه TP34 ذرات آب‌دانه‌ای دیده نمی‌شوند.

۵- در نمونه TP34S ساختارهای لایه‌ای با شکل‌های نامنظم و تجمع‌یافته وجود دارند.

کوچک یا ناپدید شدن آب‌دانه‌ها و نیز تشکیل ذرات نامنظم در

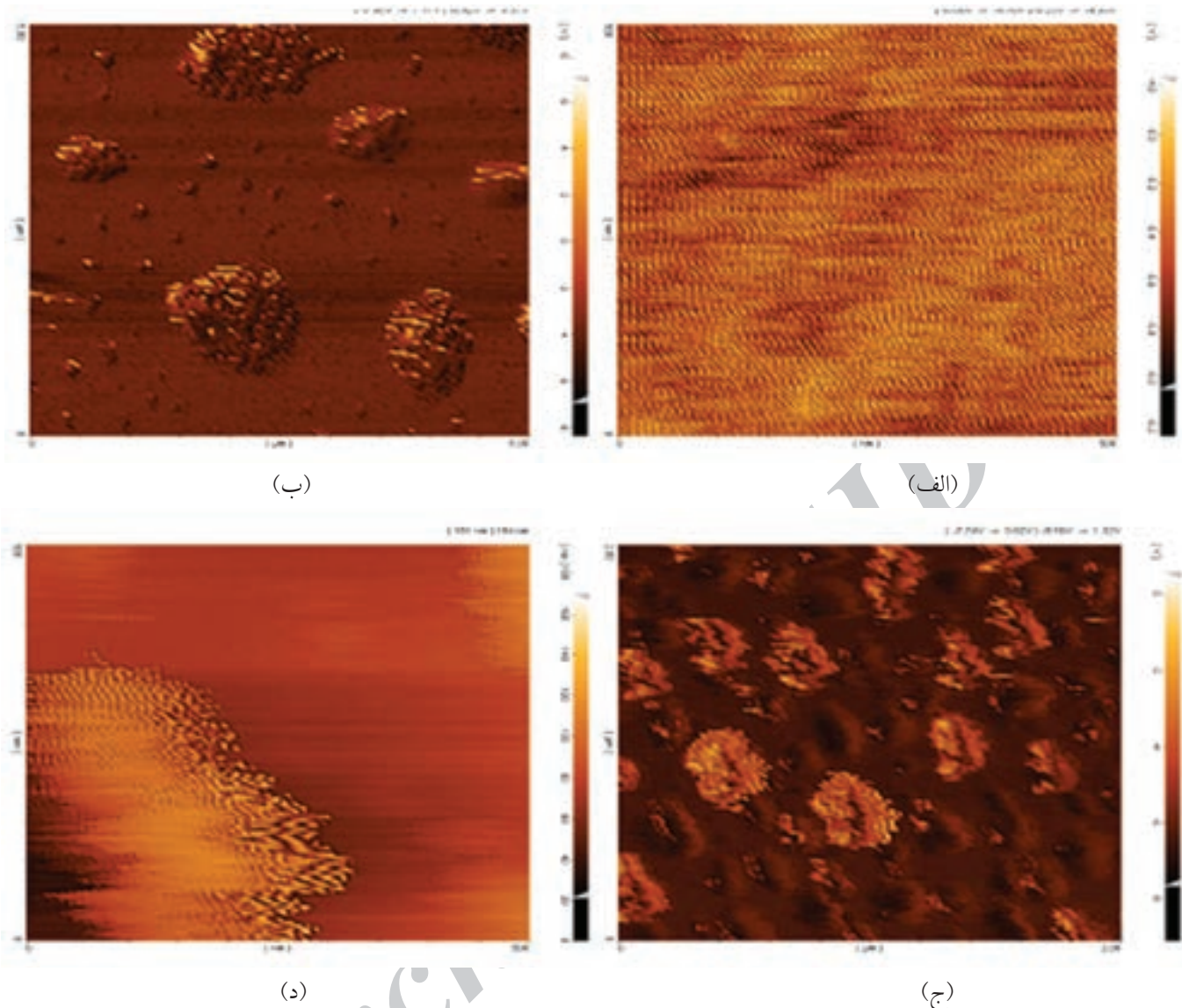


شکل ۵- ریزنگاشت‌های AFM مربوط به نمونه‌های: (الف) و (ب) TP23 و (ج) و (د) TP34. ریزنگاشت‌های ب و ج با ابعاد $5 \times 5 \mu\text{m}$ و ریزنگاشت‌های د و ه دارای ابعاد $500 \times 500 \text{ nm}$ هستند.

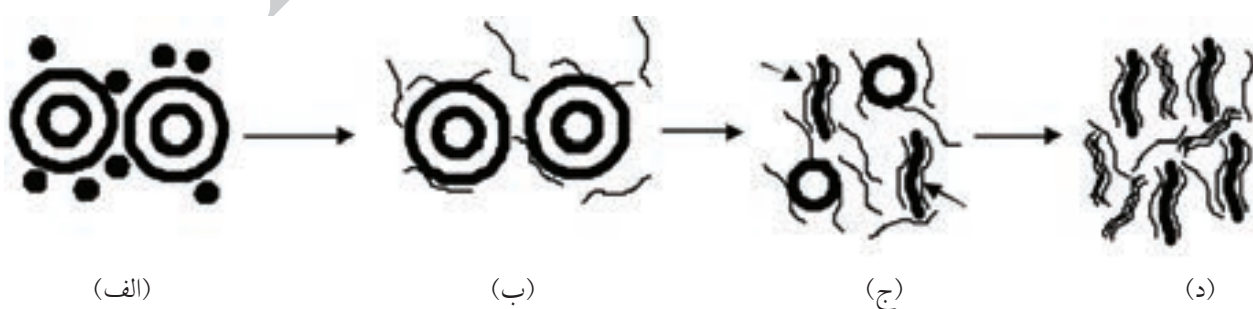
باشند (شکل ۸). تشکیل این ساختارها با توجه به کمتر بودن کشش سطحی آب‌دانه‌های بیضی‌شکل با شعاع خمس کمتر قابل توجیه است [۲۱].

در شکل ۹ نمودارهای میرایی در برابر بسامد برای نمونه‌های TP0، TP23 و TP34 دیده می‌شوند. وجود یک قله در نمودار TP34 (مانند نمودار ۰) و سه قله در نمودار TP23 به ترتیب تأیید کننده بود و نبود ذرات آب‌دانه‌ای کروی در این نمونه‌هاست. در شکل ۱۰ تغییرات گرانزوی مختلط به عنوان تابعی از درصد دامنه کرنش برای نمونه‌های TP0، TP23 و TP34 مشاهده می‌شوند. برای بررسی امکان بازیابی ساختار پس از ورود به ناحیه غیرخطی، آزمون پس از زمان وقفه

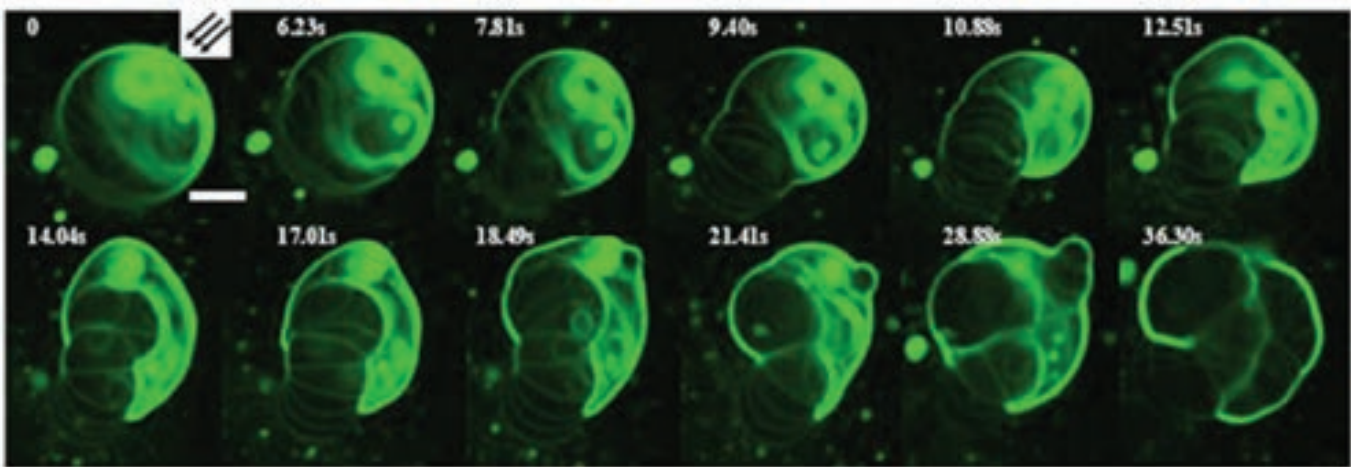
متناوب تشکیل شده از پلیمر و دولایه‌های آب‌دانه باشد. مطالعات متعدد در زمینه بره کنش DNA با لیپوزوم‌ها تشکیل چنین ساختاری را تأیید می‌کند [۱۰-۱۲]. بنابراین، با توجه به غلظت بسیار کم POSS DCA می‌توان نتیجه گرفت، بخش عمده ساختارهای لایه‌ای در نمونه‌های مختلف در اثر خودگردhamایی زنجیرهای ترپلیمر حاصل شده‌اند. در میان آن‌ها ساختارهای لایه‌ای تشکیل شده از زنجیرهای ترپلیمر و دولایه‌های آب‌دانه نیز وجود دارند. براساس سازوکار ارائه شده توسط لوان و راموس [۹]، ساختارهای لایه‌ای تجمع یافته با شکل‌های نامنظم در نمونه TP34s (شکل ۶) باید مربوط به نفوذ زنجیرهای ترپلیمر به درون آب‌دانه‌ها و قرارگرفتن آن‌ها در میان دولایه‌های آب‌دانه‌ها



شکل ۶- ریزنگاشت‌های AFM مربوط به نمونه‌های: (الف) و (ب) TP34s و (ج) و (د) TP23s مربوط به بخش‌های مختلف نمونه TP23s و ریزنگاشت‌های ج و د با ابعاد به ترتیب $500 \times 500 \text{ } \mu\text{m}$ و $5 \times 5 \text{ } \mu\text{m}$ مربوط به بخش‌های مختلف نمونه TP34s مربوط به یک بخش از نمونه TP34s هستند.



شکل ۷- طرح‌واره مراحل انحلال تریپلیمر و برهم‌کنش‌های زنجیرها با یکدیگر و با ذرات آب‌دانه‌ای شامل: (الف) انحلال گرانول‌های تریپلیمر (دایره‌های توپر) در مجاورت ذرات آب‌دانه‌ای، (ب) برهم‌کنش زنجیرهای محلول با ذرات آب‌دانه‌ای که به پوسته‌برداری از ذرات منجر می‌شود، (ج) تشکیل ساختارهای لایه‌ای متناوب پلیمر- آب‌دانه و (د) تشکیل ساختارهای تریپلیمری خودگردان آمده پس از مصرف کامل ذرات آب‌دانه‌ای.

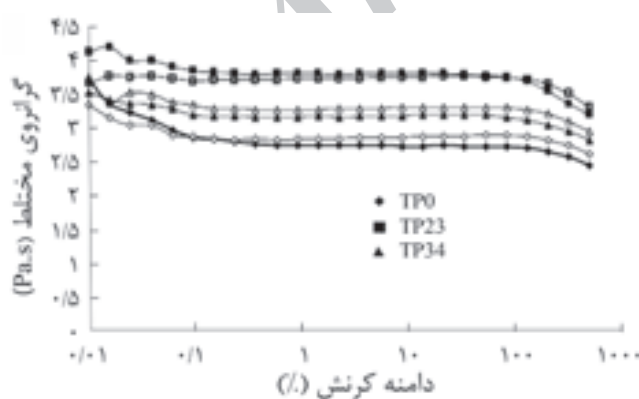


شکل ۸- تغییرات شکل آب‌دانه چندلایه بر حسب زمان در اثر تماس با محلول پلی‌کتروولیت غلیظ (۳۰٪ وزنی/وزنی). جهت نفوذ مولکول‌های پلی‌کتروولیت با پیکان نشان داده شده است [۷].

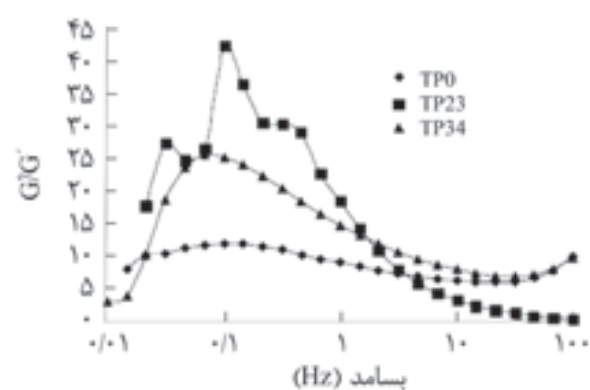
است. شایان ذکر است، مولکول‌های الكل در حالت خالص یا در محلول‌طی از حلال‌ها (مانند این پژوهش) به شکل تجمع‌های حلقوی و زنجیری با اندازه‌های مختلف وجود دارند [۲۲]. وجود کمتر از چهار واحد تکراری [۲۳] و حداقل ۱۶ واحد تکراری [۲۴] به ترتیب برای اتانول و ۱-پروپانول براساس نتایج تجربی و شبیه‌سازی ثابت شده است. این تجمع‌های الكلی می‌توانند به شکل عوامل شبکه‌کننده فیزیکی عمل کنند [۱۶]. بنابراین، کاهش نهایی بسیار کوچک گرانزوی و برگشت‌پذیری نمودارها می‌تواند به دلیل تشکیل شبکه سوپرالمولکولی به واسطه تجمع‌های الكلی با طول‌های مختلف باشد. در نمونه TP23 وجود آب‌دانه‌های POSS DCA می‌تواند باعث ایجاد آشفتگی در این شبکه شود. اما، باید به درصد وزنی کم POSS DCA در سامانه توجه داشت و اینکه ذرات آب‌دانه‌ای می‌توانند با ساختارهای پلیمری پیرامون خود برهم‌کنش‌های هیدروژنی و

۵ دقیقه‌ای تکرار شد. با توجه به کمبودن درصد POSS DCA در نمونه‌ها و قرارگرفتن لایه‌ای این ماده در میان زنجیرهای تریپلیمر می‌توان دریافت، فقط درصد بسیار کمی از ساختارهای لایه‌ای مشاهده شده در ریزنگاشت‌های مربوط به نمونه‌های TP34 و TP23 حاوی POSS DCA هستند. پس، افزایش مقدار گرانزوی مختلط برای نمونه TP34 به طور عمده مربوط به برهم‌کنش‌های بیشتر میان ساختارهای لایه‌ای است که می‌تواند تأیید کننده نتایج AFM و نشان‌دهنده وجود ساختارهای لایه‌ای با تجمع‌یافتنی کمتر در نمونه TP34 باشد. بیشتر بودن گرانزوی مختلط نمونه TP23 نسبت به TP34 می‌تواند به اثر مضاعف تجمع‌یافتنی کمتر ساختارهای لایه‌ای و نقش شبکه‌کننگی ذرات آب‌دانه‌ای نسبت داده شود.

نکته شایان توجه دیگر، کاهش نهایی بسیار کم گرانزوی در دامنه‌های کرنش زیاد (برخلاف رفتار معمول پلیمرهای غیرقطی) و برگشت‌پذیری نمودارهای شکل ۱۰ در مدت زمان بین دو روش



شکل ۱۰- گرانزوی مختلط بر حسب درصد دامنه کرنش برای نمونه‌های مختلف. علامت‌های توپر نشان‌دهنده اولین روش و توخالی نشان‌گر روش دوم هستند.

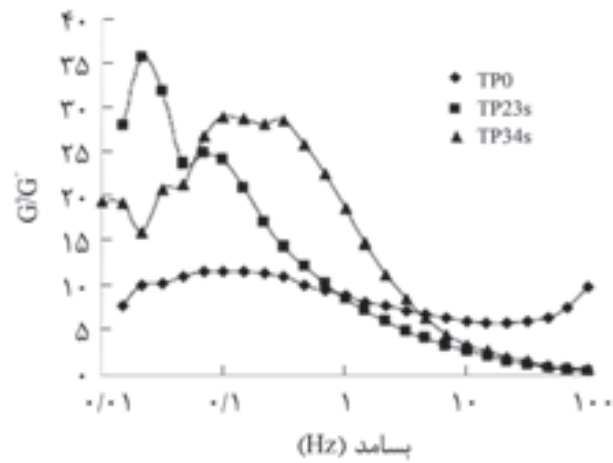


شکل ۹- تغییرات میرایی بر حسب بسامد برای نمونه‌های مختلف.

باشد. با توجه به توضیح‌های قبل، ساختارهای لایه‌ای نامنظم و تجمع یافته در نمونه TP34s در واقع بخش‌های جدا شده آب‌دانه‌ای هستند که زنجیرهای تریلیمر در میان آن‌ها قرار گرفته‌اند. این ساختارهای مرکب تریلیمر-آب‌دانه می‌توانند به شکل مواد پرکننده فعال عمل کرده با تشکیل پیوندهای الکتروستاتیک و افزایش گرانزوی شوند. تریلیمر باعث تشکیل شبکه‌ای فیزیکی و هیدروژنی با ساختارهای لایه‌ای تریلیمر دو پیک بهم چسبیده در نمودار میرایی TP34s (شکل ۱۱) می‌تواند تأییدی بر وجود برهم‌کنش‌های زیاد میان این ساختارهای مرکب با ساختارهای لایه‌ای پلیمری و تشکیل شبکه‌ای تقریباً کامل باشد. افزایش شایان توجه گرانزوی مختلط تا دامنه کرنش حدود ۹٪ برای نمونه TP34s می‌تواند به پراکنده‌شدن ساختارهای مرکب و درنتیجه افزایش تعداد گره‌ها در شبکه یاد شده نسبت داده شود. پس از شکست این شبکه در کرنش‌های بیشتر (که با کاهش شایان توجه گرانزوی همراه است) امکان پراکنده‌شدن بیشتر ساختارهای مرکب به وجود می‌آید. از سوی دیگر، در زمان آسايش بین دو رویش نیز امکان تشکیل برهم‌کنش‌های بیشتر و پایدارتر میان ساختارهای یاد شده و ساختارهای لایه‌ای تریلیمر حاصل می‌شود. این پدیده‌ها می‌توانند باعث تشکیل شبکه‌ای قوی‌تر و افزایش گرانزوی در رویش دوم شوند. وجود شبکه‌ای قوی‌تر در رویش دوم به معنی اتلاف انرژی گرانزوی کمتر و درنتیجه امکان پراکنش بیشتر ساختارهای مرکب تریلیمر-آب‌دانه است که می‌تواند به ایجاد شبیه تند در نمودار گرانزوی مختلط منجر شود.

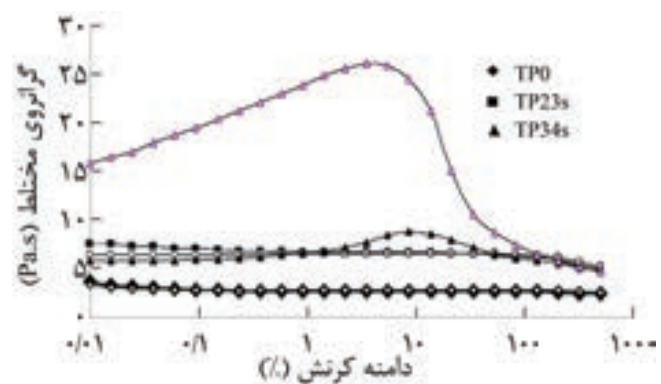
نتیجه‌گیری

تغییر اندازه ذره و شکل‌شناسی ذرات آب‌دانه‌ای POSS DCA در اثر برهم‌کنش با تریلیمر کاتیونی اتفاقی پلی(دی‌متیل آمینواتیل متاکریلات-بوتیل متاکریلات-متیل متاکریلات) بررسی شد. بدین منظور، انحلال تریلیمر در محلول حلال حاوی POSS DCA در دو غلظت ۲۳ و ۳۴ mM و در حالت‌های فراصوت‌دهی شده و نشده انجام و محلول‌های غلیظ پلیمری ۵۶٪ وزنی حاصل شدند. در این فرایند، ذرات آب‌دانه‌ای در تماس با غلظت‌های زیادی از تریلیمر قرار گرفتند. تماس تریلیمر با ذرات آب‌دانه‌ای کروی شکل با قطر متوسط حدود ۴/۵ μm در حالت فراصوت‌دهی نشده در غلظت‌های ۲۳ و ۳۴ mM به ترتیب به از بین رفتن و تشکیل ذرات بیضی شکل و کوچک‌تر (با قطر متوسط حدود ۷۰ m تا ۷۰۰ m) منجر شد. در غلظت ۳۴ mM از ذرات آب‌دانه‌ای، برهم‌کنش تریلیمر با ذرات



شکل ۱۱- میرایی بر حسب بسامد برای نمونه‌های مختلف.

الکتروستاتیک با قابلیت شکست و تشکیل مجدد سریع تشکیل دهنده. بنابراین، برگشت‌پذیری نمودار TP23 توجیه‌پذیر است. نمودارهای میرایی بر حسب بسامد برای نمونه‌های TP0، TP23s و TP34s در شکل ۱۱ دیده می‌شوند. ظاهرشدن دو قله در نمودارهای مربوط به نمونه‌های TP34s و TP23s تأییدی بر دوفازی بودن این نمونه‌های است. نقطه‌های بیشینه در قله دوم نمودار TP23s، قله اول نمودار TP34s و قله نمودار TP0 در شکل ۱۱ بسیار بهم نزدیک هستند. این موضوع نشان می‌دهد، در نمونه TP34s در فاصله میان ساختارهای نامنظم مرکب تریلیمر-آب‌دانه (شکل ۶) ساختارهای لایه‌ای (شبیه ساختارهای لایه‌ای TP0 و TP23s) وجود دارند. افزایش نسبتاً زیاد گرانزوی نمونه TP23s نسبت به TP0 (شکل ۱۲) می‌تواند به اثر مضاعف وجود ساختارهای لایه‌ای با تجمع یافتنگی کمتر (و درنتیجه امکان برهم‌کنش بیشتر) و وجود ذرات نانومتری حاصل از شکست آب‌دانه‌ها (که تجمع آن‌ها در شکل ۳ دیده می‌شود) مربوط



شکل ۱۲- گرانزوی مختلط بر حسب درصد دامنه کرنش برای نمونه‌های مختلف. علامت‌های توپر نشان‌دهنده اولین رویش و توالی نشانگر رویش دوم هستند.

سازوکارهای پوسته‌برداری از ذرات آب‌دانه‌ای به وسیله زنجیرهای پلی‌الکترولیت و نیز نفوذ پلی‌الکترولیت در دیواره آب‌دانه‌ها توجیه شدند.

آب‌دانه‌ای فراصوتدهی شده (با قطر متوسط حدود $4/5 \mu\text{m}$ یا طول λ) به ایجاد ساختارهای لایه‌ای نامنظم و تجمع یافته منجر شد. نتایج حاصل براساس خودگردانی زنجیرهای ترپلیمر و

مراجع

- 1 Mai Y. and Eisenberg A., Self-assembled Block Copolymers, *Chem. Soc. Rev.*, **41**, 32
- 2 Flaten G.E., Palacz Z., Eggers J., Filipović-Grcic J., Vaňáček Z., and Skalko-Basnet N., In Vitro Skin Models as a Tool in Optimization of Drug Formulation, *Eur. J. Pharm. Sci.*, **75**, 10
- 3 Czaplilla A., Grzybek M., Jaschinski W., and Cech U., Validity and Applicability of Membrane Models for Skin Penetration and Peripheral Membrane Preparation with Lipids, *BBA-MOL. Cell. Biol. L.*, **1841**, 9
- 4 Shinde N.G., Aloorkar N.H., and Kulkarni A.S., Recent Advances in Vesicular Drug Delivery System, *Res. J. Pharma. Dosage Forms Tech.*, **6**, 10
- 5 Zhang L., Peng T., Cheng S.X., and Zhuo R.X., Destabilization of Liposomes by Uncharged Hydrophilic and Amphiphilic Polymeric, *J. Phys. Chem. B.*, **108**, 3
- 6 Couffin-Hoarau A.C. and Leroux J.C., http://pubs.acs.org/doi/abs/10.1021/mn050041k-F1, Report on the Use of Polymeric Phosphazenes for the Design of Stimuli-Responsive Vesicles, *Biomacromolecules*, **5**, 9
- 7 Yasuhara K., Tsukamoto M., Tsuji Y., and Kikuchi J.I., Unique Concentration Dependent Behavior of the Function of Liposomes Induced by Polyethyleneimine, *Colloid Surface. A: Physicochem. Eng. Aspect.*, **415**, 6
- 8 Hu Y., Litwin T., Nagaraja A.R., Kwong B., Katz J., Watson N., and Irvine D.J., Cytotoxicity and Impermeability Mechanisms in Dendritic Cells Using pH-Responsive Core-Shell Nanoparticles, *Nano Lett.*, **7**, 6
- 9 Luan Y. and Ramos L., Real-Time Observation of Polyelectrolyte-Induced Bilayer and Charged Bilayers, *J. Am. Chem. Soc.*, **129**, 8
- 10 Hrabr S., Battersby B.J., Grimm R., and Cevat G., Lipid-DNA Complex Formation, Replication and Replication of Lipid Vesicles in the Presence of DNA as Observed by Cryo-electron Microscopy, *Biophys. J.*, **76**, 8
- 11 Dias R.S., Lidman B., and Miguel M.G., DNA Interactions with Cationic Vesicles, *J. Phys. Chem. B.*, **106**, 8
- 12 Radler J.O., Koltover I., Salditt T., and Safinya C.R., Structure of DNA-Cationic Lipid Complexes: DNA Incorporation in Multilamellar Membranes in Different Helical Packings, *Science*, **275**, 8
- 13 Kanakannan N., Adiga S., Burton S., Babu R.J., and Singh M., Formulation and In Vitro Evaluation of Transdermal Patches of Melatonin, *Drug. Dev. Ind. Pharm.*, **30**, 9
- 14 Elgiz N. and Samy W., Evaluation of the Mechanical Properties and Drug Release of Cross-linked Edagat Films Containing Melatonin, *Int. J. Pharm.*, **376**, 4
- 15 Röhm Pharma Polymers Catalogue, Formulation Technology Based on Eudragit E100 for Manufacturing of Transdermal Therapy Systems, *Röhm Pharma Degussa*, -I
- 16 Lahooti-Fard F., Imani M., Yousefi A.A., and Babaie M., Formation of Liquid Crystalline Morphologies in Dilute Solutions of a Charged Random Terpolymer, *Polym. Int.*, **63**, 8
- 17 Lahooti-Fard F., Imani M., and Yousefi A.A., Solvent-Dependent Rheological Behavior of Concentrated Sbustins of an Acrylic Terpolymer Containing Self-assembled Chains, Synthesized to e-Polymers,
- 18 Li G., Wang L., Ni H., and Pittman (Jr.) C.U., Polyhedral Oligomeric Silsesquioxane (POSS) Polymeric and Copolymeric: A Review, *J. Inorg. Organomet. Polym. Phys.*, **11**, 3
- 19 Lahooti-Fard F., Imani M., and Yousefi A.A., Formation of Vesicular Structures by a Monodispersed Pb-based Oligomeric Silsesquioxane Amphiphilic Diacid Derivative in a Sbustin Mixture, *J. Iran. Chem. Soc.*, **10**, 9
- 20 Cewat G. and Richarden H., Lipid Vesicles and Membrane Function, *Adv. Drug Deliv. Rev.*, **38**, 9
- 21 Malinin V.S. and Lete B.R., Energetics of Vesicle Function in Liposomes: Comparison of Calcifications with Observed Effects of Osmotic and Concentration Stresses, *Biophys. J.*, **86**, 9
- 22

- 2 Durov V.A., Iglesias T.P., Shilov I.Y., and Moscalets A.P.,
Molecular Structure and Dielectric Properties:
Hexane-Cyclohexane-Alkyl Mixtures, *J. Mol. Liq.*, **138**,
9–13
- 3 Wakasaka A. and Matsunaga K., Microstructure and Ethanol-Water Binary Mixtures Observed at the Cluster Level, *J. Mol. Liq.*, **129**, 9–13
- 4 Roy A.B., Space B., Castaño E.W., Naphthalene, and Melting Point of Acetone in Propylene, *J. Phys. Chem. B.*, **108**, 9–13

Archive of SID